

(مقاله کوتاه)

بررسی عددی فرآیند کاهش پسا در جریان آرام با استفاده از ریبلت‌های مستطیلی*علیرضا رئوف پناه^(۱) امیر حاجی خان میرزاپی^(۲)

چکیده هدف اصلی در پژوهش حاضر معرفی روشی کارآمد و بادون نیاز به ابزارهای بیرونی جهت کاهش پسا وارد بر اجسام متجرک در سیالات است. رژیم جریان سیال آرام در نظر گرفته شده است. ابزار مورد نظر ریبلت‌های مستطیلی می‌باشد که به صورت عمود بر حرکت جریان سیال قرار گرفته‌اند. میدان جریان روی سطوح ریبلت‌های مستطیلی در فضای دو بعدی به دست آمده است. اثر پارامترهای هندسی ریبلت‌ها شامل عرض و ارتفاع و هم‌چنین اندازه سرعت جریان آزاد بر میزان کاهش پسا وارد بر سطوح ریبلت‌دار نسبت به سطح صاف بادون ریبلت مورد بررسی قرار گرفته است. نتایج بدست آمده نشان از کارآمدی روش مذکور در کاهش پسا وارد بر سطح در رژیم جریان آرام دارد. حداقل کاهش پسا در عرض ریبلت 10 mm میلی‌متر و سرعت جریان آزاد 10 m/s برابر با 8.7% درصد محاسبه شده است.

واژه‌های کلیدی ریبلت؛ آب‌گریز؛ کاهش پسا؛ شبیه‌سازی عددی؛ دینامیک سیالات محاسباتی.

Numerical Investigation of Drag Reduction Mechanism in Laminar Flow Regime using Rectangular Riblets

A. Haji Khan Mirzaei A. Raoufpanah

Abstract This paper aims to introduce an efficient and passive method in order to reduce the amount of drag exerted on the surfaces of the objects moving in the water. The flow regime is considered as laminar. The desired method is to use rectangular riblets being perpendicular to the flow direction. Two-dimensional computational fluid dynamics is utilized to resolve the flow field around the ribbed surfaces. The effects of geometrical parameters of riblets including width and height as well as free-stream velocity on the amount of drag reduction are numerically calculated. The numerical results certify the efficiency of rectangular riblets as a drag reduction tool in the laminar flow regime. Maximum amount of the drag reduction is about 8.7% achieved for the riblets width of 0.1 millimeter and at free-stream velocity of 10 m/s.

Key Words Riblet, Hyrophobic, Drag Reduction, Numerical Simulation, Computational Fluid Dynamics

* تاریخ دریافت مقاله ۹۷/۱۲/۲۱ و تاریخ پذیرش آن ۹۹/۱/۸ می‌باشد.

(۱) دانشجوی کارشناسی ارشد، مهندسی مکانیک، دانشگاه آزاد واحد یادگار امام خمینی (ره)، تهران

(۲) نویسنده مسئول: استادیار، مهندسی مکانیک، دانشگاه آزاد اسلامی واحد یادگار امام خمینی (ره)، تهران raoufpanah@iausr.ac.ir

مقدمه

جريان، کاهش می‌یابد. کرامر و همکاران [9] متوجه شدند که ریبیلت‌های موج دار می‌توانند اثر بیشتری بر کاهش پسا نسبت به ریبیلت‌های مستقیم داشته باشند. سارین و همکاران [10] اثر ریبیلت‌ها را بر بالواره‌های یک توربین باد بررسی کردند. آنها به این نتیجه رسیدند که اندازه و محل قرارگیری ریبیلت‌ها به همراه زاویه حمله بالواره و عدد رینولدز بر میزان کاهش پسا اثرگذار هستند. هو و همکاران [11] با استفاده از ابزارهای اپتیکی نظری تکنیک PIV (Particle Image Particle Tracking Velocimetry) و PTV (Velocimetry) به بررسی ساختارهای سه‌بعدی جريان آشفته بر روی سطح ریبیلت‌دار پرداخته و نتایج را با حالت سطح صاف مقایسه کردند. احمد و همکاران [12] با اقتباس از پوست کوسه و برگ سرخس آبی روشی نوین جهت ساخت ریبیلت‌های فرآبگریز با استفاده از لیزر ارائه کردند. آنها آزمایش‌ها را برای جريان داخل کانال و در رژیم آشفته انجام دادند. اخیراً روین و همکاران [3] اثر استفاده از ریبیلت به همراه پوشش فرا آب‌گریز را در جريان داخل کانال بررسی کردند. آنها سه اندازه مختلف برای ریبیلت‌ها در نظر گرفتند که شامل ریبیلت کوچک (کمترین کاهش پسا)، ریبیلت بهینه (بیشترین کاهش پسا) و ریبیلت بزرگ (افزايش پسا) است.

شبیه‌سازی‌های عددی نیز به لطف توسعه ابزارهای محاسباتی و پیشرفت رایانه‌ها، در خدمت محققان قرار گرفته است تا اثر ریبیلت‌ها بر کاهش پسا را به‌طور جامع تری بررسی نمایند. در این میان استفاده از روش «حل عددی مستقیم» به عنوان ابزاری قدرتمند مورد توجه برخی از پژوهشگران قرار گرفته است. چوی و همکاران [13] اثر ریبیلت‌ها بر کاهش پسا در یک کانال را با روش «حل عددی مستقیم» بررسی کردند. آنها به این نتیجه رسیدند که ریبیلت‌ها باعث کاهش نوسانات سرعت و چرخش و همچنین کاهش تنش‌های رینولدزی می‌شوند. جريان آشفته بر روی شیارهای مستطیلی داخل یک کانال با استفاده از روش حل

با عبور هر سیالی از روی یک سطح جامد، از سوی سیال نیروی مقاومی (پسا) به جسم وارد می‌شود. کاهش میزان این نیرو از جمله مسائلی است که همواره مورد توجه پژوهشگران و صنعتگران بوده است. با کاهش میزان این نیرو در کاربردهای مختلفی نظیر کشتی‌ها، لوله‌های انتقال سوخت و نیز هواپیماها، می‌توان میزان مصرف انرژی لازم برای غلبه بر این نیرو را کاهش داد. تاکنون راه‌های مختلفی برای کاهش میزان پسا، هم در گستره پژوهشی و هم صنعتی، ابداع شده است که برخی به تغییر خصوصیات سیال و برخی دیگر به تغییر خصوصیات سطح وابسته است. بهبود شرایط سیال با ایجاد تغییرات در آن از جمله راه‌هایی است که می‌توان در برخی از کاربردها نظیر انتقال سیالات در لوله‌ها استفاده کرد ولی در کشتی‌ها و سازه‌های دریایی که کنترلی بر روی سیال نیست استفاده از این روش از لحاظ عملی غیرممکن است. یکی از روش‌های کاهش پسا که نیازی به انرژی ورودی و مواد افزودنی به جريان ندارد، استفاده از ریبیلت است [1,2]. ریبیلت‌ها درواقع شیارهایی در ابعاد میکرو هستند که می‌توانند در راستای جريان یا عمود بر راستای جريان قرار بگیرند. عملکرد ریبیلت‌ها در کاهش میزان پسای اصطکاکی بستگی به ابعاد آنها در مقایسه با ابعاد جريان دارد [3]. سطوح آب‌گریز و فرآب‌گریز نیز با ایجاد یک طول لغش می‌توانند سبب کاهش میزان پسا شوند [4-6]. روش‌های مختلف کاهش نیروی پسا در تجهیزات دریایی توسط فو و همکاران [7] مورد بررسی قرار گرفته است.

مطالعات آزمایشگاهی فراوانی برای بررسی اثر ریبیلت‌ها در کاهش پسا انجام شده است. سوزوکی و کاساگی [8] تحقیق جامعی بر روی جريان آشفته در دره ریبیلت‌ها انجام داده و مشاهده کردند که انتقال انرژی جنبشی آشفتگی از راستای جريان به راستای عمود بر جريان به دلیل سرکوب گردابه‌های راستای

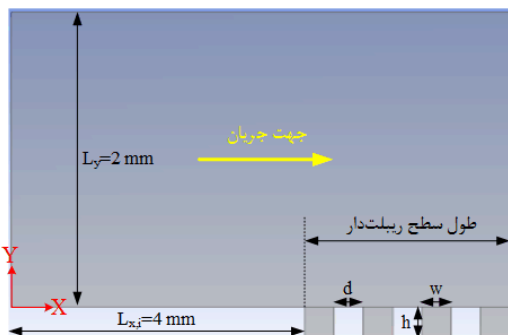
میزان پسا در رژیم جریان آرام به صورت تجربی و عددی بررسی کردند. آنها به این نتیجه رسیدند که با افزایش نسبت ابعادی ریلیت‌ها، ضریب اصطکاک محلی کاهش می‌یابد.

گرچه اکثر پژوهش‌های انجام شده در زمینه اثر ریلیت‌ها مربوط به جریان توبولانس است اما چوی و همکاران [21] اثر ریلیت‌های ۷ شکل طولی را در جریان آرام کاملاً توسعه یافته داخل کanal، به صورت عددی بررسی کردند. آنها به این نتیجه رسیدند که برخلاف حالت جریان آشفته، وجود ریلیت‌های طولی باعث کاهش پسا در جریان آرام نمی‌شود. در واقع اگرچه نرخ برش روی دیواره در بیشتر بخش‌های سطح ریلیت‌دار نسبت به کanal صاف کاهش می‌یابد اما در نهایت پسا افزایش خواهد یافت. پژوهش‌های عددی دیگری نیز در زمینه عملکرد ریلیت‌ها در کاهش میزان پسا انجام شده است [22,23].

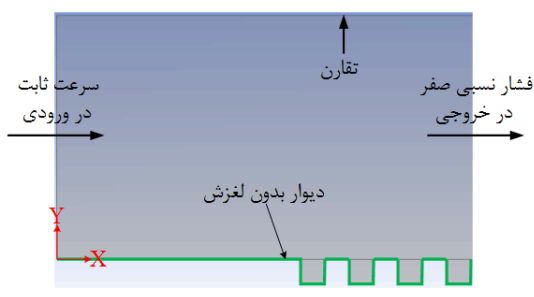
با توجه به موارد بیان شده، اهمیت استفاده از ریلیت‌ها در کاهش پسای وارد بر تجهیزات هوایی و دریایی نظیر راکت‌ها، کشتی‌ها، زیردریایی‌ها و اژدرها مشخص گردید. هدف اصلی در این پژوهش بررسی اثر استفاده از سطوح ریلیت‌دار بر کاهش میزان پسای وارد بر یک صفحه مسطح با استفاده از ابزار دینامیک سیالات محاسباتی است. برخلاف اکثر پژوهش‌های پیشین که بر جریان آشفته مرکز داشته‌اند، در این پژوهش کاهش پسا در جریان آرام مدنظر است. هم‌چنین بخش اعظم پژوهش‌های گذشته جریان داخل کanal را بررسی کرده‌اند و پژوهش‌های اندکی به بررسی اثر ریلیت‌ها در کاهش پسای وارد بر سطوح (نظیر جریان روی صفحه تخت) پرداخته‌اند. با توجه به این موارد، در پژوهش حاضر با استفاده از فرضیات ساده‌شونده، هندسه‌ای دو بعدی در نظر گرفته شده و سپس اثر استفاده از ریلیت‌های مستطیلی با ابعاد مختلف در کاهش میزان پسای وارد بر سطح در رژیم

عددی مستقیم توسط هانگ و همکاران [14] مورد بررسی قرار گرفته است. آنها حرکت و تعییرات گردابه‌های نزدیک دیوار در راستای جریان را مورد تحلیل قرار دادند. آنها از معیار قدرت چرخش برای مطالعه کمی گردابه‌ها بهره جستند. آنها به این نتیجه رسیدند که شعاع گردابه‌ها در کanal‌های شیاردار کوچک‌تر از کanal‌های صاف است. هم‌چنین، هانگ و همکاران در پژوهش دیگری [15] اثر محلول فعال سطحی را نیز بر جریان آشفته بر روی شیارهای مستطیلی مورد بررسی قرار دادند. ساساموری و همکاران [16] به مطالعه پارامتری ریلیت‌های سینوسی برای کاهش پسا با استفاده از روش حل عددی مستقیم پرداختند. آنها جریان کاملاً توسعه یافته آشفته داخل کanal را در عدد رینولدز اصطکاکی ۱۱۰ شبیه‌سازی کرده و مشاهده کردند که بیشینه درصد کاهش پسا برای با ۹/۸ درصد خواهد بود. هم‌چنین تحقیق دیگری توسط فواد و پراکاش [17] برای بررسی اثر ساختارهای سینوسی در کاهش پسای جریان آشفته داخل کanal به صورت روش حل عددی مستقیم انجام شده است.

علاوه بر روش حل عددی مستقیم، از مدل‌های آشفتگی نیز جهت شبیه‌سازی جریان بر روی ریلیت‌ها استفاده شده است. کلامپ و همکاران [18] با استفاده از روش «شبیه‌سازی گردابه‌های بزرگ» به این نتیجه رسیدند که ریلیت‌ها ابزار کارآمدی در تعدیل ساختارهای آشفتگی سه‌بعدی نظیر گردابه‌های راستای جریان، «گردابه‌های سنجاق سری» و «گردابه‌های گاما» هستند. بای و همکاران [19] با استفاده از مدل آشفتگی SST k-ω عملکرد شش نوع ریلیت با هندسه‌های مختلف را در کاهش میزان پسا بررسی کردند. آنها به این نتیجه رسیدند که ریلیت L شکل بهترین عملکرد را داشته و تا ۵/۶۳۶ درصد می‌تواند پسای اصطکاکی را کاهش دهد. بیون و پارک [20] اثر ریلیت‌ها با اشکال هندسی مختلف (شامل مثلثی و مستطیلی) را در کاهش



شکل «۱»: شماتیکی از فضای محاسباتی و ابعاد هندسی ریلتها شامل W (عرض)، h (ارتفاع) و d (فاصله).



شکل «۲»: شرایط مرزی جریان.

تمامی معادلات حاکم بر مسئله شامل معادلات پایستگی جرم و تکانه به روش حجم محدود گسسته‌سازی شده و حل شده‌اند. معادلات پایستگی جرم و تکانه به ترتیب توسط روابط (۱) و (۲) بیان می‌شوند:

$$\frac{\partial(\rho u_i)}{\partial x_i} = 0 \quad (1)$$

$$\frac{\partial(\rho u_i u_j)}{\partial x_j} = -\frac{\partial p}{\partial x_i} + \frac{\partial}{\partial x_j} \left[(\mu) \left(\frac{\partial u_i}{\partial x_j} + \frac{\partial u_j}{\partial x_i} \right) \right] \quad (2)$$

که در روابط بالا، ρ ، u و μ به ترتیب چگالی، سرعت، فشار و گرانزوی دینامیکی سیال هستند. برای ارتباط سرعت و فشار در معادلات پایستگی جرم و تکانه از «رونده حل کاپلد» استفاده شده است. همچنان تمامی عبارات جابه‌جایی در معادله تکانه با روش بادسوی مرتبه دوم گسسته‌سازی شده‌اند. معیار همگرایی برای باقیمانده معادلات پایستگی جرم و تکانه برابر با 10^{-6} در نظر گرفته شده است. سیال

جریان آرام (لمینار) بررسی شده است. همچنان اثر سرعت جریان آزاد نیز بر عملکرد ریلتها در کاهش میزان پسا بررسی شده است. نکته بسیار مهم این است که ابعاد ریلتها به‌گونه‌ای انتخاب شده است که امکان ساخت آنها با توجه به تجهیزات امروزی امکان‌پذیر است.

هندسه، شرایط مرزی و معادلات حاکم

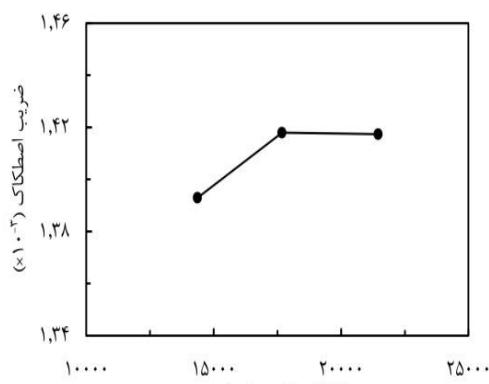
صورت مسئله در پژوهش حاضر شبیه‌سازی جریان در یک فضای دو بعدی است که در شکل (۱) نشان داده شده است. سطح پایینی فضای محاسباتی در قسمت ابتدایی صاف است تا شبیه اثر جریان روی صفحه تخت را ایجاد نماید. در قسمت انتهایی فضای محاسباتی، ریلتها به صورت عمود بر جریان چیده شده‌اند. لازم یادآوری است که به دلیل بهتر دیده شدن ریلتها مقیاس اندازه‌ها در این شکل رعایت نشده است.

شرایط مرزی در نظر گرفته شده برای جریان نیز در شکل (۲) نشان داده شده است. در ورودی از شرط مرزی سرعت ثابت (10 متر بر ثانیه) استفاده شده است. فشار نسبی در خروجی صفر است. باید توجه داشت با توجه به ثابت بودن چگالی سیال و فرض تراکم‌ناپذیری، مقدار مطلق فشار تأثیری در حل مسئله ندارد. دیواره پایینی فضای محاسباتی دارای شرط عدم لغزش بوده و در سطح بالایی نیز شرط مرزی تقارن استفاده شده است. شایان یادآوری است برای تولید شبکه محاسباتی از نرم‌افزار «انسیس مشینگ (ANSYS Meshing)» استفاده شده و برای حل میدان جریان از نرم‌افزار «انسیس فلوئنت (ANSYS FLUENT)» بهره گرفته شده است.

$$\overline{C_f} = \frac{\tau_w}{\frac{1}{2}\rho U_\infty^2} \quad (4)$$

در این رابطه τ_w مقدار تنش برشی متوسط بر روی دیواره ریلت دار است. نتایج مربوط به ضریب اصطکاک متوسط روی دیواره ریلت‌ها در شکل (۳) نمایش داده شده است. مشاهده می‌شود که با افزایش تعداد مس از مش شماره ۲ به مش شماره ۳ مقدار ضریب اصطکاک متوسط تنها $0,03$ درصد تغییر می‌کند (از $0,01418$ به $0,01417$ کاهش می‌یابد)، بنابراین مش شماره ۲ برای سایر شبیه‌سازی‌ها انتخاب شده است زیرا هم از دقت کافی برخوردار بوده و هم در هزینه محاسباتی صرفه‌جویی می‌کند. شایان یادآوری است که در تمامی هندسه‌ها از مش سازمان یافته (چهارضلعی) استفاده شده است. نمایی از شبکه محاسباتی تولید شده در شکل (۴) نشان داده شده است.

به منظور اطمینان از صحت نتایج حاصل از حل عددی نیاز است تا ابتدا صحت روش حل عددی سنجیده شود. برای این منظور می‌توان نتایج حاصل از حل عددی را با نتایج تجربی یا تحلیلی موجود مقایسه نمود. در پژوهش حاضر به منظور سنجش صحت حل عددی، جریان بر روی سطح صاف مورد بررسی قرار گرفته است.



شکل «۳»: بررسی استقلال حل از شبکه.

کاری آب با چگالی 1000 کیلوگرم بر مترمکعب و گرانروی $0,001$ پاسکال ثانیه در نظر گرفته شده است. لازم به یادآوری است که عدد رینولدز برای جریان روی سطح به صورت زیر تعریف می‌گردد:

$$Re_x = \frac{\rho U_\infty L_x}{\mu} \quad (3)$$

در این رابطه U_∞ سرعت جریان آزاد بوده و L_x نیز فاصله از ابتدای سطح (مبدأ مختصات) است. به این ترتیب بزرگ‌ترین عدد رینولدز در انتهای سطح رخ خواهد داد. با توجه به اینکه طولانی‌ترین سطح در پژوهش حاضر $9/9$ میلی‌متر است، بنابراین بزرگ‌ترین عدد رینولدز $9/9 \times 10^5$ خواهد بود که از مقدار 5×10^5 که عدد رینولدز بحرانی (گذار از جریان آرام به آشفته) جریان روی سطح است بسیار کوچک‌تر بوده و می‌توان از برقراری جریان آرام روی سطح اطمینان حاصل کرد. البته باید به این نکته اشاره کرد که به دلیل وجود ریلت‌ها اغشاشاتی در میدان جریان به وجود می‌آید (نسبت به سطح صاف بدون ریلت) که می‌تواند باعث گذار از جریان آرام به آشفته در اعداد رینولدز کوچک‌تری شود. ب؛ براین شرایط جریان و هندسه در پژوهش حاضر به گونه‌ای انتخاب شده است تا عدد رینولدز جریان کوچک باشد و گذار به جریان آشفته رخ ندهد. این موضوع مجدد در قسمت نتایج نیز مورد بررسی قرار گرفته است.

استقلال حل از شبکه و صحت‌سنجی حل عددی

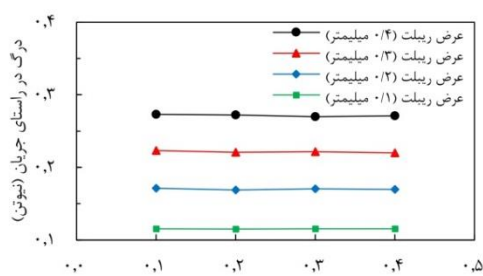
به منظور بررسی استقلال حل از شبکه، هندسه دو بعدی مطابق شکل (۱) با عرض، ارتفاع و فاصله ریلت $0,1$ میلی‌متر در نظر گرفته شده است. سه شبکه محاسباتی مختلف تولید شده و مقادیر ضریب اصطکاک متوسط روی دیواره ریلت‌ها برای هر کدام محاسبه شده است. ضریب اصطکاک متوسط مطابق رابطه (۴) تعریف شده است:

شبیه‌سازی‌ها ثابت و برابر با 0.1 میلی‌متر در نظر گرفته شده است. مشخصات هر کدام از 16 هندسه شبیه‌سازی شده در جدول (۱) نشان داده شده است. در ادامه اثر عرض و ارتفاع ریبیلت‌ها در کاهش میزان پسای وارد بر سطح بررسی شده است. لازم به یادآوری است که تمامی مقادیر ارائه شده برای پسای وارد بر سطوح در بخش‌های بعد، مقادیر متوسط پسا است.

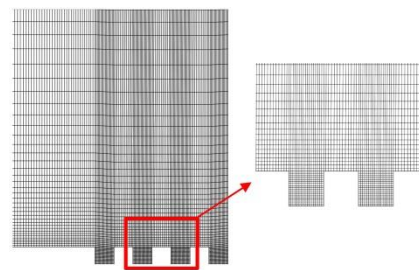
اثر ارتفاع ریبیلت‌ها. اثر تغییر ارتفاع ریبیلت‌ها در کاهش پسای وارد بر سطح در شکل (۶) نشان داده شده است. همان‌طور که ملاحظه می‌شود تغییر ارتفاع ریبیلت‌ها تأثیر قابل ملاحظه‌ای بر میزان پسای وارد بر سطح ندارد؛ بنابراین نتایج در ادامه تنها برای ارتفاع ریبیلت 0.1 میلی‌متر نشان داده شده و از اثر ارتفاع ریبیلت صرف نظر شده است.

جدول «۱»: مشخصات ابعادی هندسه‌های ریبیلت‌ها
(ابعاد به میلی‌متر است).

ارتفاع	عرض	نام	ارتفاع	عرض	نام
0.3	0.1	هندسه ۹	0.1	0.1	هندسه ۱
0.3	0.2	هندسه ۱۰	0.1	0.2	هندسه ۲
0.3	0.3	هندسه ۱۱	0.1	0.3	هندسه ۳
0.3	0.4	هندسه ۱۲	0.1	0.4	هندسه ۴
0.4	0.1	هندسه ۱۳	0.2	0.1	هندسه ۵
0.4	0.2	هندسه ۱۴	0.2	0.2	هندسه ۶
0.4	0.3	هندسه ۱۵	0.2	0.3	هندسه ۷
0.4	0.4	هندسه ۱۶	0.2	0.4	هندسه ۸



شکل «۲»: پسای وارد بر سطح در راستای جریان بر حسب ارتفاع ریبیلت‌ها.

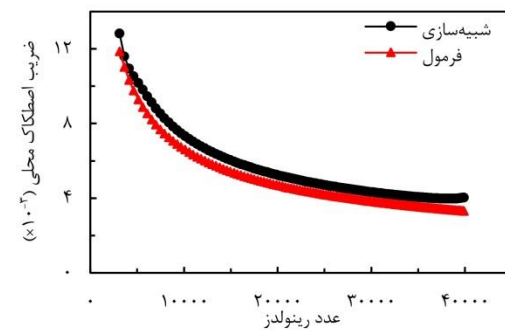


شکل «۱»: نمایی از شبکه محاسباتی تولید شده در مجاورت ریبیلت‌ها.

به منظور صحت‌سنگی حل عددی مقادیر ضریب اصطکاک بر روی سطح صاف پایینی (قسمت ابتدایی سطح در شکل ۱) از شبیه‌سازی محاسبه شده و با نتایج مربوط به فرمول تحلیلی زیر مقایسه شده است:

$$C_f = 0.664 Re_x^{-0.5} \quad (5)$$

نتایج مربوط به شبیه‌سازی و فرمول تحلیلی در شکل (۵) با هم مقایسه شده است. همان‌طور که مشاهده می‌شود تطابق مناسبی میان نتایج برقرار است؛ بنابراین صحت روش عددی انتخاب شده تأیید می‌گردد.



شکل «۵»: صحت‌سنگی حل عددی.

نتایج و بحث

شبیه‌سازی‌ها برای مقادیر مختلف عرض و ارتفاع ریبیلت‌ها انجام شده است به طوری که عرض و ارتفاع ریبیلت‌ها از 0.1 تا 0.4 میلی‌متر تغییر داده شده است. فاصله بین ریبیلت‌ها (d) در شکل ۱) در تمامی

جدول «۲»: مقایسه سهم پسای فشاری و اصطکاکی در سطوح ریبیلت دار و درصد کاهش پسای سطح ریبیلت دار نسبت به سطح بدون ریبیلت.

درصد کاهش پسا	پسای کل	پسای اصطکاکی	پسای فشاری	حالات سطح	
-	۰,۱۲۵۳	۰,۱۲۵۳	-	بدون ریبیلت	هندسه
۷/۸	۰,۱۱۵۵	۰,۰۷۷۱	۰,۰۳۸۴	با ریبیلت	۱
-	۰,۱۹۳۱	۰,۱۹۳۱	-	بدون ریبیلت	هندسه
۱۱/۴	۰,۱۷۱۱	۰,۰۷۹۹	۰,۰۹۱۲	با ریبیلت	۲
-	۰,۲۵۸۵	۰,۲۵۸۵	-	بدون ریبیلت	هندسه
۱۳/۸	۰,۲۲۲۹	۰,۰۷۸۳	۰,۱۴۴۷	با ریبیلت	۳
-	۰,۳۲۱۹	۰,۳۲۱۹	-	بدون ریبیلت	هندسه
۱۵/۲	۰,۲۷۳۰	۰,۰۷۳۲	۰,۱۹۹۸	با ریبیلت	۴

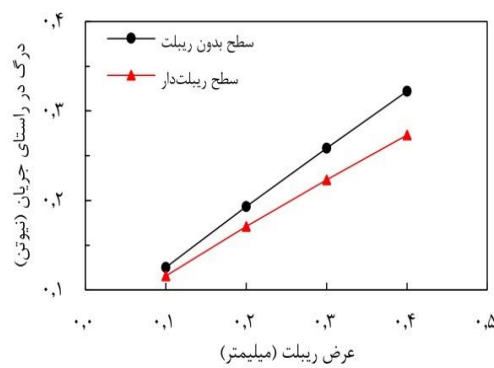
با توجه به اینکه در هر شبیه‌سازی تنها ۴ ریبیلت در نظر گرفته شده است (نظری شکل ۱) بنابراین طول سطح ریبیلت دار در هندسه‌های مختلف متفاوت است. مفهوم طول سطح ریبیلت دار در شکل (۱) نشان داده شده است. بر این اساس طول سطح ریبیلت دار در هندسه ۱ تا هندسه ۴ به ترتیب برابر با ۰,۷، ۱,۱، ۱,۵ و ۱,۹ میلی‌متر است.

به منظور مقایسه تأثیر ریبیلت‌های با عرض مختلف در کاهش میزان پسا، ۴ هندسه جدید با طول سطح ریبیلت دار ثابت (برابر با ۵,۹ میلی‌متر) در نظر گرفته شده است. مشخصات این چهار هندسه و شماتیکی از آنها به ترتیب در جدول (۳) و در شکل (۸) نشان داده شده است. با توجه به برابر بودن طول سطح ریبیلت دار در این ۴ هندسه، می‌توان مقایسه بهتری میان عملکرده ریبیلت‌ها در کاهش میزان پسا انجام داد.

جدول «۳»: مشخصات هندسه‌های جدید با طول سطح ریبیلت دار یکسان (تمام ابعاد به میلی‌متر داده شده است).

نام	طول سطح ریبیلت دار	عرض ریبیلت	تعداد ریبیلت	هندسه
۱۷	۵,۹	۰,۱	۳۰	هندسه
۱۸	۵,۹	۰,۲	۲۰	هندسه
۱۹	۵,۹	۰,۳	۱۵	هندسه
۲۰	۵,۹	۰,۴	۱۲	هندسه

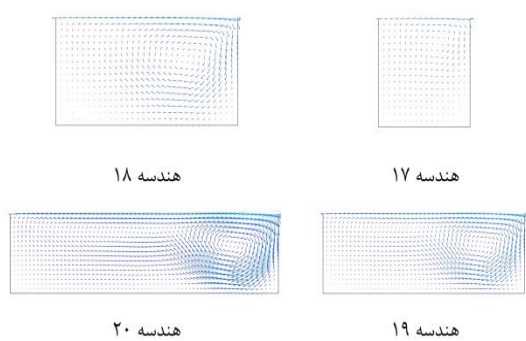
اثر عرض ریبیلت‌ها. اثر تغییر عرض ریبیلت‌ها در کاهش پسای وارد بر سطح در شکل (۷) نشان داده شده است. هم‌چنین پسای وارد بر سطح بدون ریبیلت متناظر نیز در این شکل نشان داده شده است. مشاهده می‌شود که استفاده از ریبیلت اثر قابل قبولی در کاهش میزان پسای وارد بر سطح دارد. نتایج نشان داده شده در شکل (۷) متناظر با هندسه ۱ تا هندسه ۴ است.



شکل (۷): پسای وارد بر سطح در راستای جریان بر حسب عرض ریبیلت‌ها.

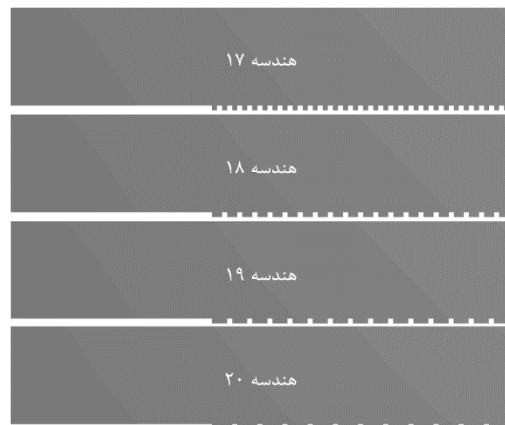
پسای وارد بر سطح در حالت بدون ریبیلت تنها ناشی از اثر تنش برشی (اصطکاک) در سطح مشترک سیال و جامد است، اما در حالت سطح ریبیلت دار بخشی از پسا به دلیل تنش برشی و بخشی دیگر به دلیل نیروی فشاری است. مقایسه میان اندازه هر کدام از این نیروها و درصد کاهش پسا با استفاده از ریبیلت مستطیلی در جدول (۲) نشان داده شده است. مشاهده می‌گردد که جمع پسای فشاری و اصطکاکی در حالت سطح ریبیلت دار کمتر از پسای اصطکاکی در حالت سطح بدون ریبیلت متناظر است. کمترین درصد کاهش پسا در هندسه ۱ با ۷/۸ درصد و بیشترین میزان کاهش پسا در هندسه ۴ با ۱۵/۲ درصد مشاهده می‌گردد. البته باید توجه داشت که طول سطح ریبیلت دار در هندسه ۱ تا ۴ مختلف است.

مشابه ریلت اول است. همان‌طور که مشاهده می‌شود برای هر ۴ هندسه گردابه‌ای در داخل ریلت و در قسمت راست آن به وجود می‌آید. اندازه گردابه در تمامی هندسه‌ها تقریباً ثابت بوده و برابر با ارتفاع ریلت است به گونه‌ای که در هندسه ۱۷ که عرض و ارتفاع ریلت یکسان و برابر با 10×10 میلی‌متر است، گردابه تمام فضای داخل ریلت را پر کرده اما در هندسه ۱۸ گردابه تقریباً نصف فضای داخل ریلت را اشغال نموده است. کاهش پسای اصطکاکی با افزایش عرض ریلت‌ها (که در جدول ۴ قابل ملاحظه است) را می‌توان با توجه به بردارهای سرعت رسم شده در شکل (۹) توضیح داد. همان‌طور که ملاحظه می‌شود در قسمت پایینی ریلت (دره ریلت) جهت جريان سیال به سمت چپ (خلاف جهت جريان اصلی که در راستای مثبت محور X است) است؛ بنابراین پسا اصطکاکی در سطح پایینی ریلت‌ها در جهت منفی محور X بوده و باعث کاهش میزان پسای اصطکاکی کل در راستای X می‌گردد. به همین دلیل با افزایش عرض ریلت‌ها میزان سهم پسای اصطکاکی از پسای کل وارد بر سطح کاهش پیدا می‌کند.



شکل «۴»: نمایش بردارهای سرعت در اولین ریلت.

به منظور بررسی دقیق‌تر توزیع پسای اصطکاکی، نمودار توزیع مؤلفه تنش بررشی در راستای محور X روی سطح ریلت‌دار در هندسه ۳ (مطابق نام‌گذاری جدول ۱) در شکل (۱۰) رسم شده است. در این شکل



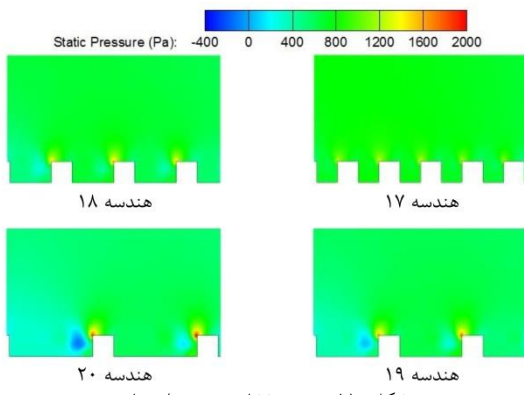
شکل «۳»: شماتیکی از هندسه شماره ۱۷ تا ۲۰.

نتایج مربوط به میزان پسای فشاری، اصطکاکی و کل و هم‌چنین درصد کاهش پسا نسبت به سطح بدون ریلت متناظر در جدول (۴) آورده شده است. مشاهده می‌شود که با افزایش عرض ریلت (و در نتیجه کاهش تعداد ریلت در واحد طول) سهم پسای اصطکاکی کاهش یافته و پسای فشاری افزایش می‌باید ولی در مجموع پسای وارد بر سطح کاهش می‌باید.

جدول «۴»: مقایسه سهم پسای فشاری و اصطکاکی در سطوح ریلت‌دار و درصد کاهش پسای سطح ریلت‌دار نسبت به سطح بدون ریلت برای هندسه‌های با طول سطح ریلت‌دار یکسان.

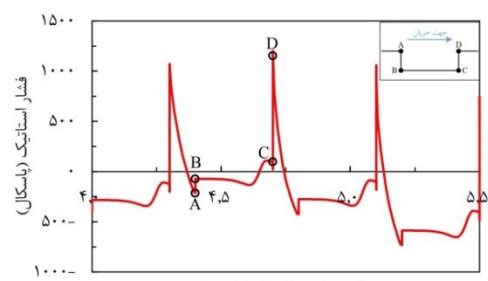
درصد کاهش پسا	پسای کل	پسای اصطکاکی	پسای فشاری	
-	۰/۸۷۳۴	۰/۸۷۳۴	-	بدون ریلت
۳/۰	۰/۸۴۷۵	۰/۶۰۹۹	۰/۲۳۷۶	هندسه ۱۷
۵/۴	۰/۸۲۶۵	۰/۴۳۷۴	۰/۳۸۹۱	هندسه ۱۸
۷/۱	۰/۸۱۱۱	۰/۳۳۰۶	۰/۴۸۰۴	هندسه ۱۹
۸/۷	۰/۷۹۷۰	۰/۲۵۲۸	۰/۵۴۴۲	هندسه ۲۰

برای بررسی میدان جريان در سطح ریلت‌دار و فرآیند عملکرد ریلت مستطیلی در کاهش پسا، بردارهای سرعت در اولین ریلت برای هندسه شماره ۱۷ تا ۲۰ در شکل (۹) نمایش داده شده است. لازم به ذکر است که بردارهای سرعت در سایر ریلت‌ها نیز



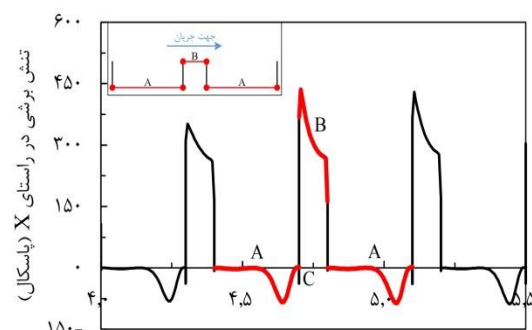
شکل «۱۱»: توزیع فشار روی ریبلت‌ها.

به منظور بهتر مشخص شدن نحوه توزیع فشار بر روی ریبلت‌ها، توزیع فشار بر روی سطح ریبلت‌دار در هندسه ۳ (مطابق نام‌گذاری جدول ۱) در شکل (۱۲) رسم شده است. در این شکل نحوه نام‌گذاری چهار رأس ریبلت با حروف A، B، C و D نشان داده شده است. هم‌چنین میزان فشار در این چهار نقطه برای ریبلت دوم بر روی نمودار مشخص شده است. ملاحظه می‌شود که میزان فشار در ضلع میان رئوس A و B (که بر روی ضلع سمت چپ ریبلت قرار دارند) منفی بوده و میزان فشار در ضلع میان رئوس C و D (که در سمت راست ریبلت قرار گرفته‌اند) مثبت است. هم‌چنین فشار در رأس D که نقطه سکون جریان است بسیار بزرگ‌تر از فشار در سایر نقاط است. این روند در سایر ریبلت‌ها نیز مشاهده می‌گردد؛ بنابراین انتظار می‌رود که نیروی فشاری خالصی به سمت راست (در جهت حرکت جریان) به سطح ریبلت‌دار وارد شود که مقدار این نیروی فشاری تحت عنوان پسای فشاری در جدول‌های (۲) و (۴) آورده شده است.



شکل «۱۲»: توزیع فشار روی سطح ریبلت‌دار در هندسه ۳.

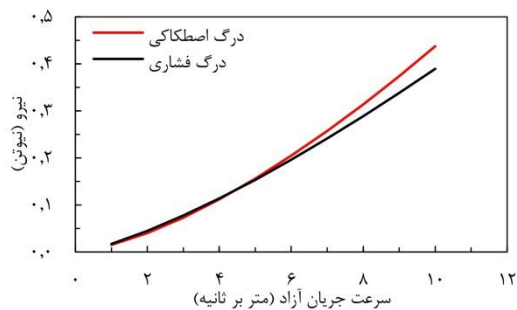
نحوه نام‌گذاری اضلاع ریبلت مشخص شده است. بر این اساس دره ریبلت با حرف A و قله آن با حرف B نام‌گذاری شده است. همان‌طور که ملاحظه می‌شود مقدار تنفس برشی بر روی ضلع A منفی بوده و در نتیجه مقدار کل تنفس برشی در راستای محور X (راستای جریان) را کاهش می‌دهد. هم‌چنین تنفس برشی بر روی ضلع B مثبت است؛ بنابراین می‌توان به این نتیجه رسید که به علت منفی بودن تنفس برشی در دره ریبلت‌ها، برآیند تنفس برشی وارد سطح ریبلت‌دار نسبت به سطح بدون ریبلت کمتر خواهد بود که این موضوع از نتایج نشان داده شده در جدول (۲) و (۴) نیز مشخص است.



شکل «۱۰»: توزیع تنفس برشی در راستای محور X روی سطح ریبلت‌دار در هندسه ۳.

توزیع تغییرات فشار در ابتدای سطح ریبلت‌دار برای هندسه شماره ۱۷ تا ۲۰ در شکل (۱۱) رسم شده است. مشاهده می‌شود که به دلیل برخورد جریان سیال به نوک ریبلت‌ها نواحی پرفشاری ایجاد می‌شود که در واقع نقطه سکون جریان نیز است. اندازه این فشار به ترتیب از هندسه ۱۷ تا هندسه ۲۰ افزایش می‌یابد که نشان‌دهنده افزایش فشار با افزایش عرض ریبلت‌ها است. این موضوع در تطابق با نتایج نشان داده شده در جدول (۴) نیز است یعنی با افزایش عرض ریبلت میزان پسای فشاری وارد بر سطح افزایش یافته است.

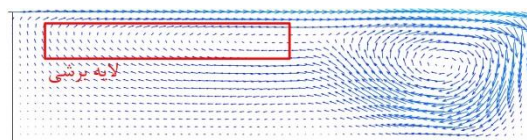
اثر سرعت جريان آزاد. به منظور تعیین اثر سرعت جريان آزاد بر روی عملکرد ریبیلت‌های مستطیلی در کاهش میزان پسا، شبیه‌سازی‌ها بر روی هندسه ۱۸ و در سرعت‌های مختلف جريان آزاد از ۱ متر بر ثانیه تا ۱۰ متر بر ثانیه انجام شده است. مقایسه میان اندازه پسای اصطکاکی و فشاری وارد بر سطح ریبیلت دار در سرعت‌های مختلف جريان آزاد در شکل (۱۴) نمایش داده شده است. همان‌طور که ملاحظه می‌گردد در سرعت‌های پایین (کمتر از ۵ متر بر ثانیه) گرچه اختلاف اندکی میان دو نوع پسا مشاهده می‌شود اما سهم پسای فشاری اندکی بیشتر از پسای اصطکاکی است. در سرعت‌های بالاتر (بزرگ‌تر از ۵ متر بر ثانیه) سهم پسای اصطکاکی نسبت به پسای فشاری بیشتر شده است.



شکل «۱۴»: مقایسه سهم پسای اصطکاکی و فشاری وارد بر سطح ریبیلت دار در سرعت‌های مختلف جريان آزاد در هندسه ۱۸.

پسای کل وارد بر سطح ریبیلت دار (هندسه ۱۸) در سرعت‌های مختلف جريان آزاد با پسای وارد بر سطح بدون ریبیلت متناظر در شکل (۱۵) مقایسه شده است. ملاحظه می‌شود که پسای وارد بر سطح ریبیلت دار همواره کمتر از پسای وارد بر سطح بدون ریبیلت است که این موضوع به خوبی نشان‌دهنده عملکرد موافقیت‌آمیز ریبیلت‌های مستطیلی در کاهش پسای وارد بر سطح در محدوده رژیم جريان آرام است. برای مشاهده بهتر درصد کاهش پسای وارد بر سطح ریبیلت دار نسبت به سطح بدون ریبیلت در سرعت‌های مختلف جريان آزاد، نمودار درصد کاهش پسا برای دو هندسه ۱۷ و ۱۸ در شکل (۱۶) رسم شده است.

در نهایت می‌توان به این نتیجه رسید که با افزایش عرض ریبیلت‌ها مقدار پسای کل وارد بر سطح، در مقایسه با سطح صاف بدون ریبیلت متناظر، کاهش می‌یابد. البته باید به این نکته مهم توجه نمود که در صورت افزایش عرض ریبیلت‌ها از حد معینی، ناپایداری‌هایی در حل عددی به وجود می‌آید. این ناپایداری‌ها در نهایت سبب عدم همگرایی حل عددی (با استفاده از فرض جريان آرام) می‌شوند. در واقع می‌توان این موضوع را با توجه به بردارهای سرعت رسم شده در شکل (۹) نیز توجیه نمود. همان‌طور که در این شکل مشخص است با افزایش عرض ریبیلت‌ها، یک لایه برشی در سمت چپ قسمت داخلی ریبیلت‌ها ایجاد می‌شود. منظور از این لایه برشی فضایی در میدان جريان داخل ریبیلت است که جهت جريان در ضخامت اندکی به طور کامل عکس شده است. برای بهتر مشخص شدن موضوع، این لایه برشی برای هندسه ۲۰ در شکل (۱۳) نمایش داده شده است.



شکل «۱۳»: نمایش لایه برشی در میدان جريان داخل ریبیلت در هندسه ۲۰.

همان‌طور که از بردارهای سرعت نشان داده شده در مشخص است، با افزایش عرض ریبیلت‌ها، طول لایه برشی داخل ریبیلت مستطیلی افزایش می‌یابد. در نتیجه با افزایش عرض ریبیلت‌ها از حد معینی، گسترش این لایه برشی سبب توسعه اغتشاشات در جريان شده و رژیم جريان را از حالت آرام به آشفته تبدیل می‌نماید. این موضوع در حل عددی به صورت ایجاد ناپایداری در باقیمانده‌ها و عدم همگرایی حل خود را نشان می‌دهد. در نتیجه در این پژوهش عرض ریبیلت‌ها به گونه‌ای انتخاب شده است تا از وجود جريان آرام اطمینان حاصل شود.

کاهش پسای وارد بر سطح مورد بررسی قرار گرفت. خلاصه مهم‌ترین نتایج به دست آمده به شرح زیر است:
۱- ریلیت‌های مستطیلی می‌توانند میزان پسای وارد بر سطح را در محدوده رژیم جریان آرام، نسبت به سطح صاف بدون ریلیت، کاهش دهند. درصد کاهش میزان پسا به پارامترهای هندسی ریلیت و سرعت جریان آزاد بستگی دارد.

۲- در حالی که ارتفاع ریلیت‌ها اثر ناچیزی در میزان کاهش پسای وارد بر سطح دارند، افزایش عرض ریلیت‌ها تا حد معینی باعث کاهش میزان پسای کل می‌گردد.

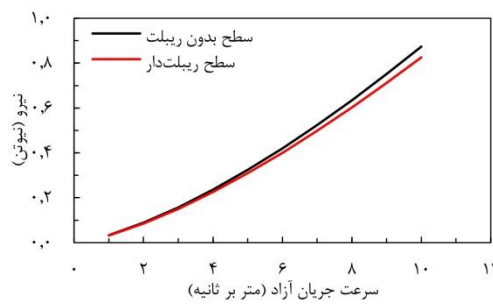
۳- بیشترین مقدار کاهش پسا در سطح ریلیت‌دار نسبت به سطح بدون ریلیت، در ریلیت با عرض ۴۰ میلی‌متر و در سرعت جریان آزاد ۱۰ متر بر ثانیه به دست آمد که برابر با ۸/۷ درصد است.

۴- پسای کل وارد بر سطح بدون ریلیت تنها به دلیل پسای اصطکاکی است اما پسای وارد بر سطح ریلیت‌دار مجموع پسای اصطکاکی و فشاری است.

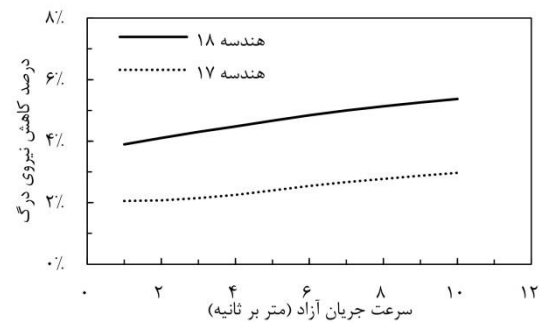
۵- در سرعت‌های اندک جریان آزاد، سهم پسای فشاری اندکی بیشتر از پسای اصطکاکی وارد بر سطح ریلیت‌دار است اما با افزایش سرعت جریان آزاد به تدریج سهم پسای اصطکاکی افزایش یافته و بیشتر از پسای فشاری می‌گردد.

۶- با افزایش عرض ریلیت‌های مستطیلی یک لایه برشی داخل ریلیت به وجود می‌آید. این لایه برشی سبب توسعه اغتشاشات در میدان جریان سیال می‌شود. با افزایش بیش از حد عرض ریلیت‌ها و در نتیجه توسعه لایه برشی، گذار از رژیم جریان آرام به جریان آشفته سریع‌تر اتفاق می‌افتد. در این صورت حل عددی با استفاده از فرض جریان آرام ناپایدار شده و سرانجام واگرا می‌گردد.

مشاهده می‌گردد که با افزایش سرعت جریان آزاد درصد کاهش پسا نیز افزایش می‌یابد. کمترین و بیشترین درصد کاهش پسا در سرعت ۱ و ۱۰ متر بر ثانیه و در هندسه ۱۸ به ترتیب برابر با ۳۹ و ۵/۴ درصد است. متوسط درصد کاهش پسا در هندسه ۱۷ و ۱۸ و در محدوده سرعت‌های شبیه‌سازی شده نیز به ترتیب ۲/۵ و ۴/۷ درصد محاسبه شده است.



شکل «۵»: مقایسه پسای کل وارد بر سطح ریلیت‌دار (هندسه ۱۸) و سطح بدون ریلیت در سرعت‌های مختلف جریان آزاد.



شکل «۱۶»: درصد کاهش پسای کل در سطح ریلیت‌دار نسبت به سطح بدون ریلیت متناظر در هندسه شماره ۱۷ و ۱۸.

جمع‌بندی و نتیجه‌گیری

در این پژوهش به بررسی اثر استفاده از ریلیت‌های مستطیلی بر کاهش میزان پسای وارد بر سطح در جریان آرام پرداخته شد. برای این منظور از دینامیک سیالات محاسباتی در فضای دوبعدی استفاده گردید تا حرکت جریان آب بر روی سطح شبیه‌سازی شود. اثر پارامترهای هندسی ریلیت مستطیلی شامل عرض و ارتفاع و هم‌چنین اثر میزان سرعت جریان آزاد بر روی

Direct Numerical Simulation	حل عددی مستقیم	در انتهای این نکته لازم به توضیح است که تعیین فرآیند عملکرد ریبلت‌ها در کاهش میزان پسای وارد بر سطح نیاز به بررسی دقیق‌تر دارد. در این پژوهش تلاش شد تا با استفاده از فرضیات ساده شونده کارآمدی ریبلت‌های مستطیلی در کاهش میزان پسای وارد بر سطح در رژیم جریان آرام مورد بررسی قرار گیرد.	
Large Eddy Simulation	شبیه‌سازی گردابه‌های بزرگ		
Superhydrophobic	فرآبگریز		
Hairpin vortices	گردابه‌های سنجاق سری		
Δ Vortices	گردابه‌های گاما		
Surfactant solution	محلول فعال سطحی	واژه‌نامه	
Coupled algorithm	رونده حل کاپلده	Airfoil	بالواره
		Drag	پسا

مراجع

- Walsh, M.J., "Riblets as a viscous drag reduction technique", *AIAA Journal*, Vol. 21, pp. 485–486, (1983).
- Walsh, M. and Lindemann, A., "Optimization and application of riblets for turbulent drag reduction", In: *22nd Aerospace Science Meeting*, p. 347, (1984).
- Rowin, W.A., Hou, J. and Ghaemi, S., "Turbulent channel flow over riblets with superhydrophobic coating", *Experimental Thermal and Fluid Science*, Vol. 94, pp. 192–204, (2018).
- Min, T. and Kim, J., "Effects of hydrophobic surface on skin-friction drag", *Physics of Fluids*, Vol. 16, pp. L55–L58, (2004).
- Raufpanah, A., Rad, M. and Nouri, B.A., "Effects of slip condition on the characteristic of flow in ice melting process", *International Journal of Engineering*, Vol. 18, pp. 253–261, (2005).
- Voronov, R.S., Papavassiliou, D.V. and Lee, L.L., "Slip length and contact angle over hydrophobic surfaces", *Chemical Physics Letters*, Vol. 441, pp. 273–276, (2007).
- Fu, Y.F., Yuan, C.Q. and Bai, X.Q., "Marine drag reduction of shark skin inspired riblet surfaces", *Biosurface and Biotribology*, Vol. 3, pp. 11–24, (2017).
- Suzuki, Y. and Kasagi, N., "Turbulent drag reduction mechanism above a riblet surface", *AIAA Journal*, Vol. 32, pp. 1781–1790, (1994).
- Kramer, F., Grüneberger, R., Thiele, F., Wassen, E., Hage, W. and Meyer, R., "Wavy riblets for turbulent drag reduction", In: *5th Flow Control Conference*, p. 4583, (2010).
- Sareen, A., Deters, R.W., Henry, S.P. and Selig, M.S., "Drag reduction using riblet film applied to airfoils for wind turbines", *Journal of Solar Energy Engineering*, Vol. 136, pp. 21007, (2014).
- Hou, J., Hokmabad, B.V. and Ghaemi, S., "Three-dimensional measurement of turbulent flow over a riblet surface", *Experimental and Thermal Fluid Science*, Vol. 85, pp. 229–239, (2017).
- Ahmmed, K.M.T., Montagut, J. and Kietzig, A., "Drag on superhydrophobic sharkskin inspired surface in a closed channel turbulent flow", *Canadian Journal of Chemical Engineering*, Vol. 95, pp. 1934–1942, (2017).
- Choi, H., Moin, P. and Kim, J., "Direct numerical simulation of turbulent flow over riblets", *Journal of Fluid Mechanics*, Vol. 255, pp. 503–539, (1993).
- Huang, C., Wang, Q., Wei, J. and Yu, B., "Direct numerical simulation of turbulent flow over wide-rib rectangular grooves", *Canadian Journal of Chemical Engineering*, Vol. 96, pp. 1207–1220,

- (2018).
15. Huang, C., Liu, D., Wei, J., Yu, B., Zhang, H. and Cheng, J., "Direct numerical simulation of surfactant solution flow in the wide-rib rectangular grooved channel", *AIChE Journal*, Vol. 64, pp. 2898–2912, (2018).
 16. Sasamori, M., Iihama, O., Mamori, H., Iwamoto, K. and Murata, A., "Parametric study on a sinusoidal riblet for drag reduction by direct numerical simulation", *Flow, Turbulence and Combustion*, Vol. 99, pp. 47–69, (2017).
 17. Fuaad, P.A. and Prakash, K.A., "Enhanced drag-reduction over superhydrophobic surfaces with sinusoidal textures: A DNS study", *Computers and Fluids*, (2019).
 18. Klumpp, S., Meinke, M. and Schröder, W., "Numerical simulation of riblet controlled spatial transition in a zero-pressure-gradient boundary layer", *Flow, Turbulence and Combustion*, Vol. 85, pp. 57–71, (2010).
 19. Bai, X., Zhang, X. and Yuan, C., "Numerical analysis of drag reduction performance of different shaped riblet surfaces", *Marine Technology Society Journal*, Vol. 50, pp. 62–72, (2016).
 20. Byun, D. and Park, H.C., "Drag reduction on micro-structured super-hydrophobic surface", In: Robot. Biomimetics, pp. 818–823, (2006).
 21. Zhang, Y., Chen, H., Fu, S. and Dong, W., "Numerical study of an airfoil with riblets installed based on large eddy simulation", *Aerospace Science and Technology*, Vol. 78, pp. 661–670, (2018).
 22. Boomsma, A. and Sotiropoulos, F., "Riblet drag reduction in mild adverse pressure gradients: a numerical investigation", *International Journal of Heat and Fluid Flow*, Vol. 56, pp. 251–260, (2015).

